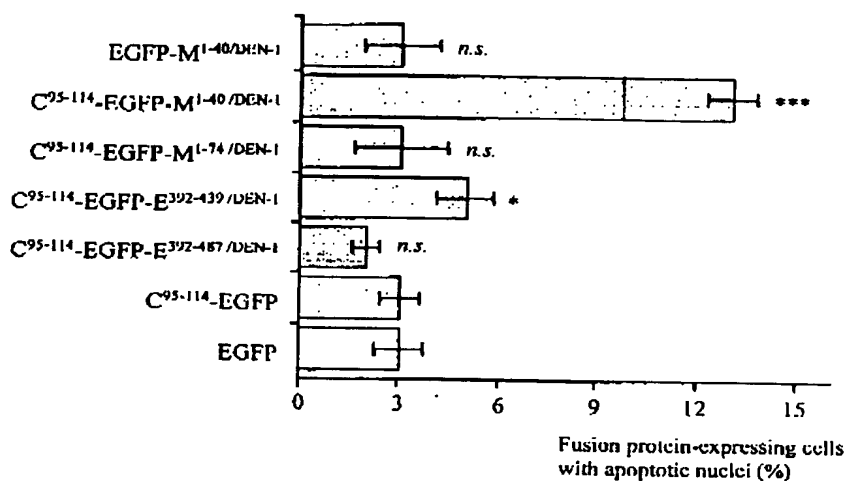
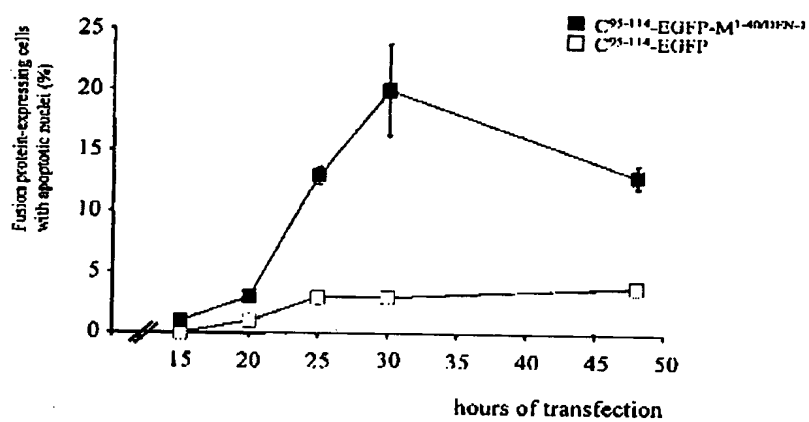


FIGURE J.

A.



B.



C.

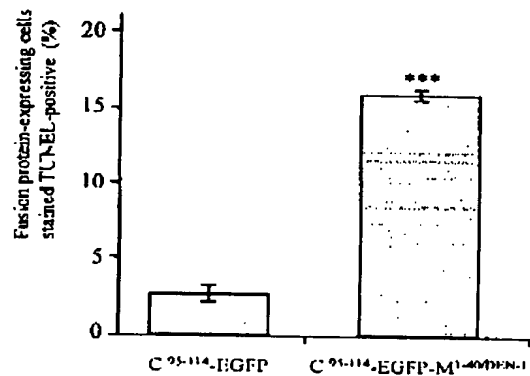
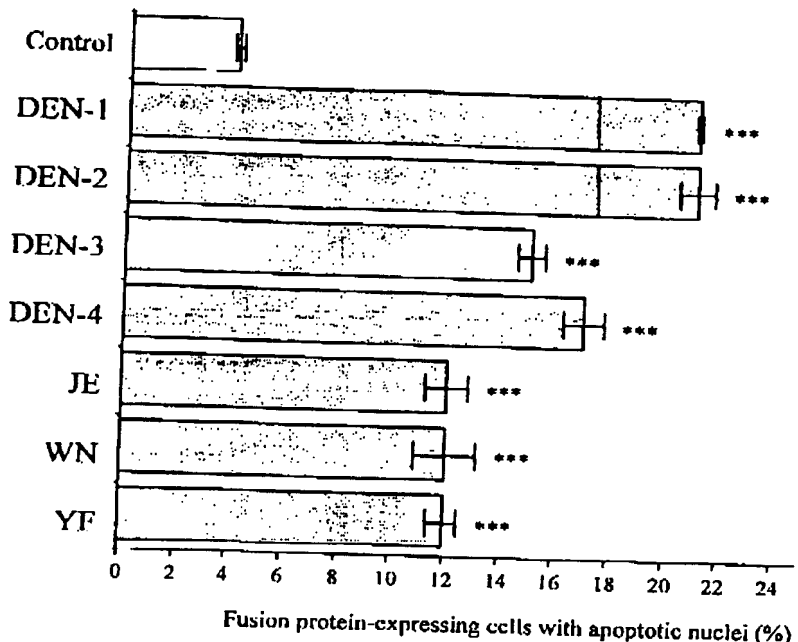


FIGURE 2

A.



B.

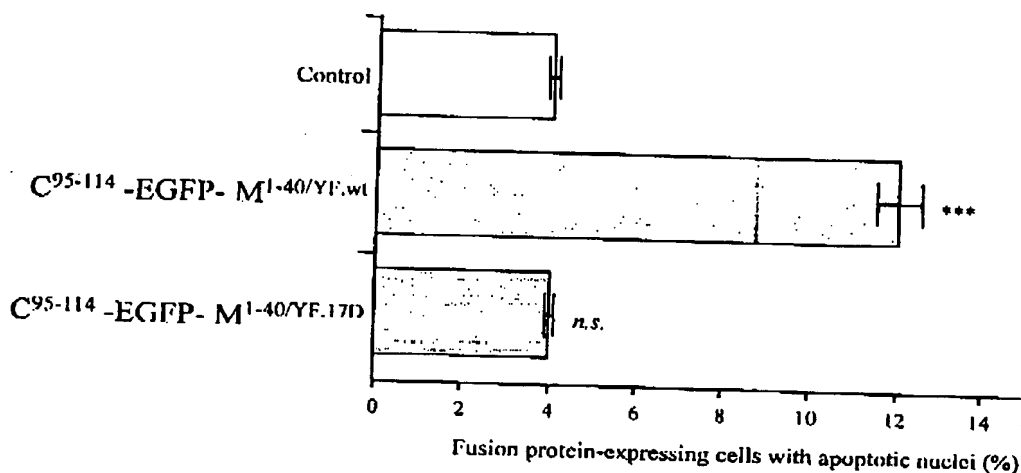


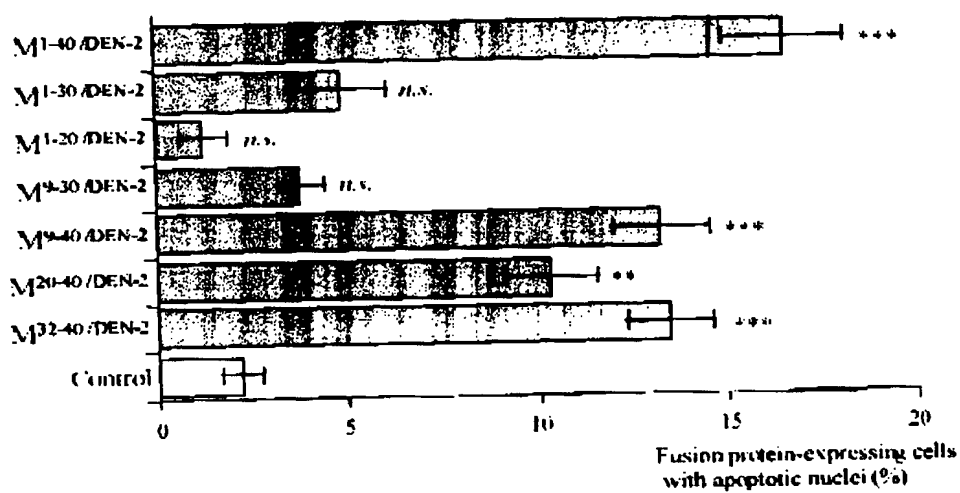
FIGURE 3

A.

DEN-2 *ccmM* mutants

¹ SVALVPHVGGMGLETRTETWMSSEGAWKHVQRIETWILRHP ⁴⁰	M 1-40 DEN-2
¹ SVALVPHVGGMGLETRTETWMSSEGAWKHVQ ³⁰	M 1-30 DEN-2
¹ SVALVPHVGGMGLETRTETWMS ²⁰	M 1-20 DEN-2
⁹ GMGLETRTETWMSSEGAWKHVQ ³⁰	M 9-30 DEN-2
⁹ GMGLETRTETWMSSEGAWKHVQRIETWILRHP ⁴⁰	M 9-40 DEN-2
²⁰ MSSEGAWKHVQRIETWILRHP ⁴⁰	M 20-40 DEN-2
¹² IETWILRHP ⁴⁰	M 12-40 DEN-2

B.



C.

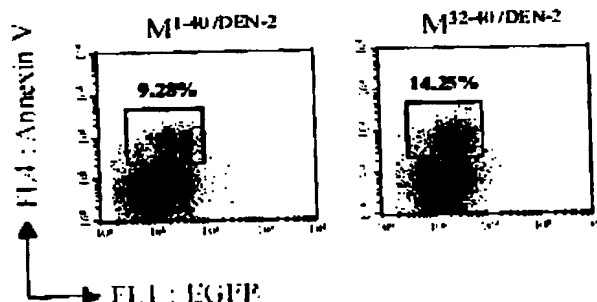


FIGURE 4

A.

ecto-M

¹AIDLPTHENHGLKTRQEKGWMGRMGERQLQKIERWFVRNP⁴
¹-----T-IL-H-
¹SVALVPHVGMGLETRTETWMSSEGAWKHVQRRIETWILRHP⁴
¹-----F-----

Mutant proteins

M^{1-40/YF.17D}

M^{1-40/YF.17D (T³⁴, F³⁶, L³⁷, H³⁹)}

M^{1-40/DEN-2}

M^{1-40/DEN-2 (F³⁶)}

B.

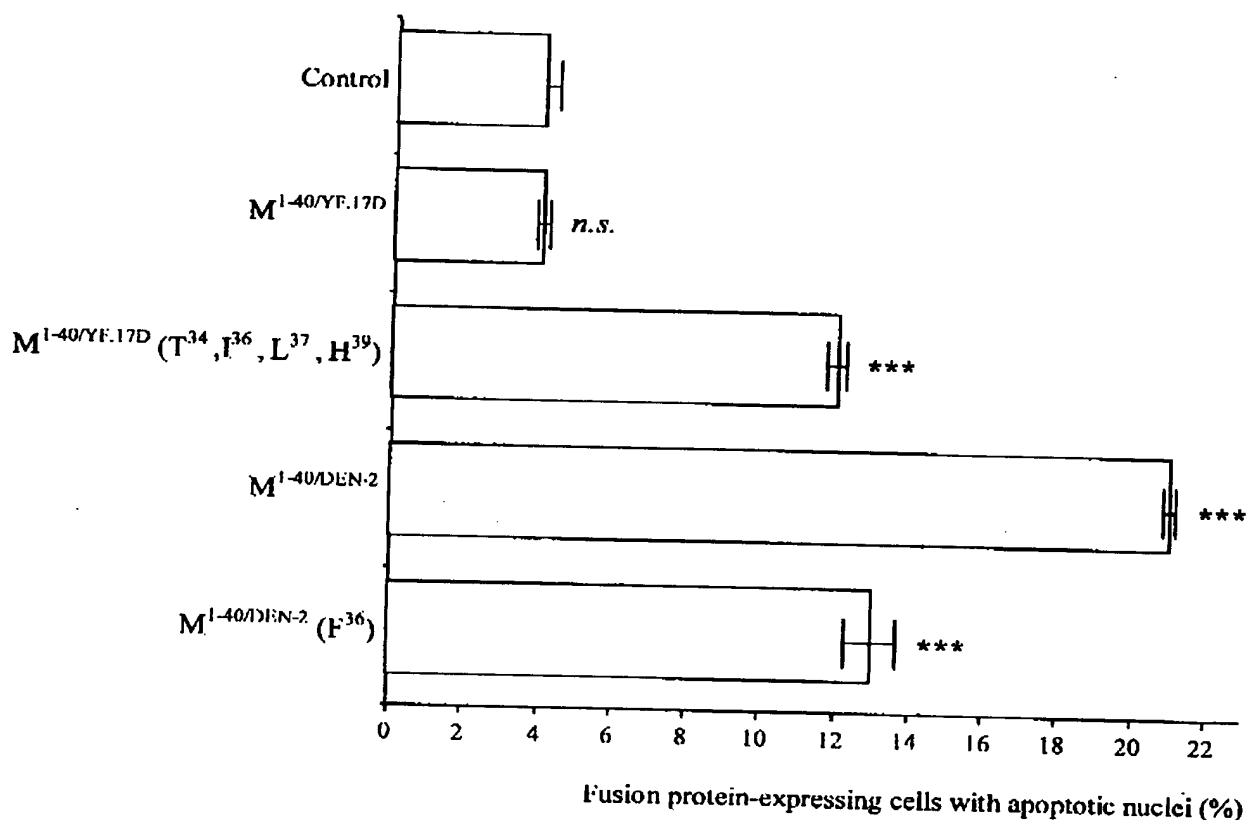
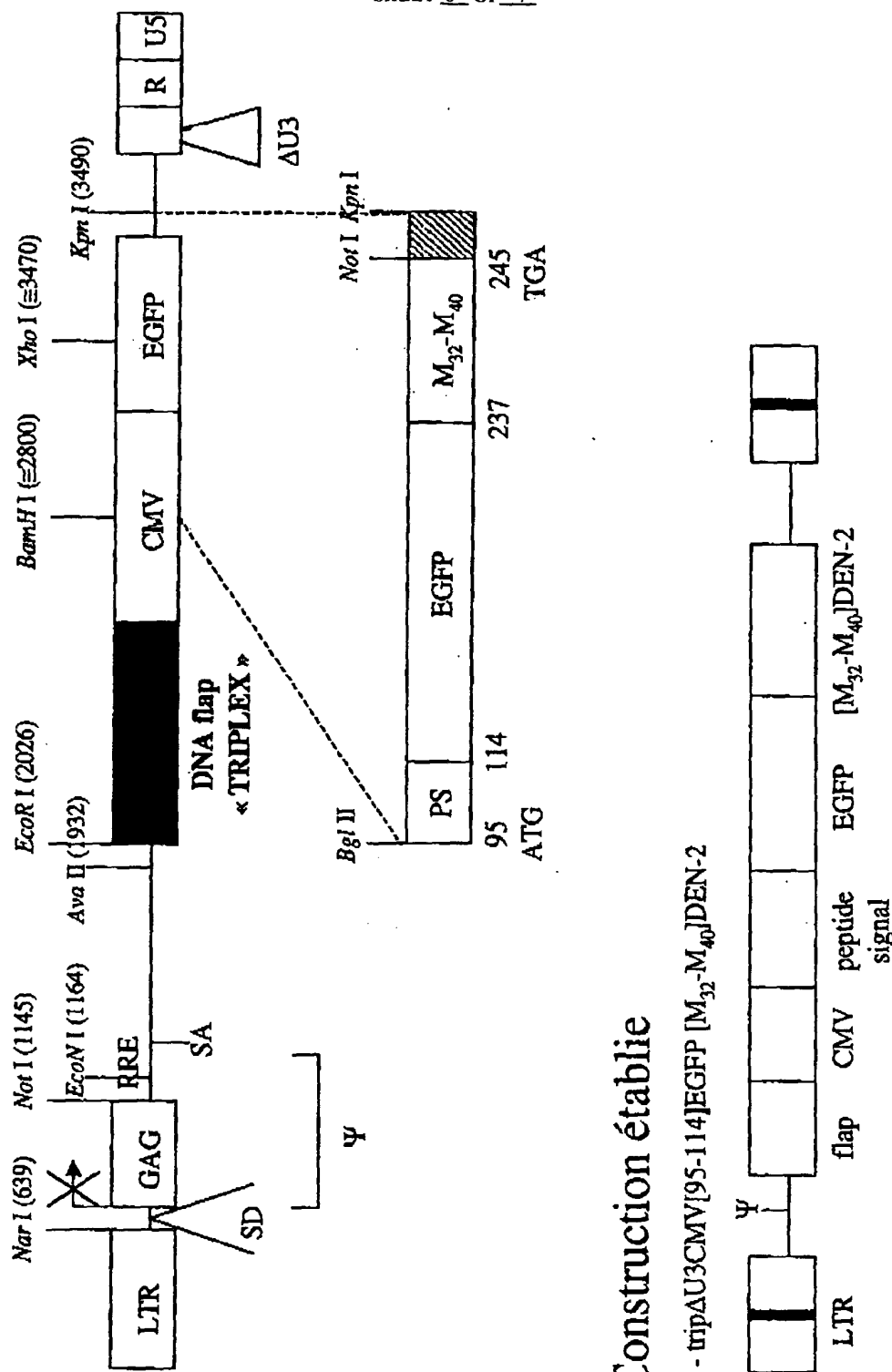


FIGURE 5.

Carte de résolution de Ψ KUP Δ U3 CMV GFP



Construction établie

- tripAU3CMV[95-114]EGFP [$M_{32}-M_{40}$]DEN-2

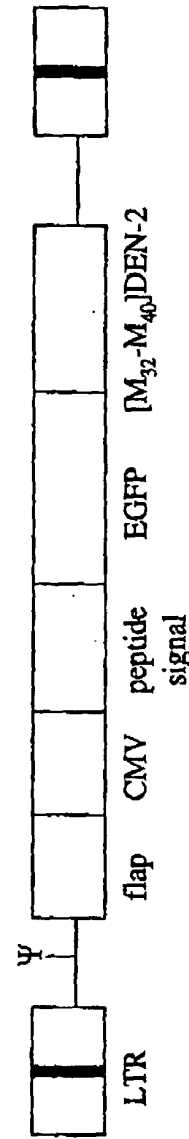


FIGURE 6

Séquence du plasmide p[95-114] EGFP [M₁-M₄₈]DEN-2 (136P)

691 . 601 . 61: 621 . 63: 641 . 65: 661 . 671 . \rightarrow EG77

Sequence du virus DEN-1 sonde BR/20 en 5' de l'ECER

Peptide signal de ptk
Sequence D61-1
 M W R R K R S V T W L
Arg Cys Ser and Arg Arg Arg AAA AAC TCC GTC AGC AGG CTC
Arg Cys Ser and Arg Arg Arg AAC AAC TCC GTC AGC AGG CTC

fréquence en 3' du gène EGFR du plastide pEGFP-N1

équence de l'ectodomaine de la grotteine M du virus DEN-2 muté à 36F en 3' du gène EGFR

REVERSED TETRYS BRACTAE VORTEX
 L A H. E L ' I R S V A L V T P L R B P opal
 CTC GCG AGC GTC GCG GCA GTC GAT
 CTC GCG AGC GTC GCG GCA GTC GAT
 BrcT

FIGURE 7